

Progetto e analisi di programmi per sistemi dedicati

Lezione 07 di Sistemi dedicati

Docente: Giuseppe Scollo

Università di Catania
Dipartimento di Matematica e Informatica
Corso di Laurea Magistrale in Informatica, AA 2019-20

Indice

1. Progetto e analisi di programmi per sistemi dedicati
2. argomenti della lezione
3. microprocessori, toolchain
4. da C ad assembly (ARM): un esempio
5. analisi del codice oggetto
6. rappresentazione dei tipi di dati
7. variabili nella gerarchia di memoria
8. chiamate di funzione: un esempio
9. costruzione dell'area di attivazione
10. disposizione in memoria del programma
11. riferimenti

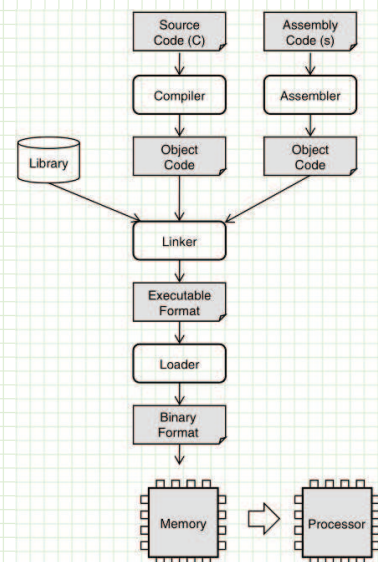
di che si tratta:

- motivazioni per l'uso di microprocessori dedicati
- toolchain per lo sviluppo di programmi
- strumenti per l'analisi di codice oggetto
- rappresentazione dei tipi di dati
- variabili nella gerarchia di memoria
- compilazione di chiamate di funzione
- disposizione in memoria di programmi eseguibili
- esempi in C e assembly ARM

microprocessori, toolchain

il microprocessore è il componente programmabile di maggior successo negli ultimi decenni... perché?

- separazione del software dall'hardware con la definizione di un insieme di istruzioni
- ampia disponibilità di software di supporto allo sviluppo di programmi, anche in linguaggi di alto livello
- alta efficienza delle opzioni di riuso di componenti e di interoperabilità con altri componenti, sia hardware (bus standard) che software (librerie)
- alta scalabilità, e.g. lunghezza di parola da 4 a 64 bit, uso di un microprocessore con funzione di coordinamento in una complessa architettura SoC ecc.

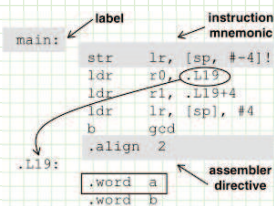


Schaumont, Figure 7.1 - Standard design flow of software source code to processor instruction

da C ad assembly (ARM): un esempio

```
int gcd(int a[5], int b[5]) {
    int i, m, n, max;
    max = 0;
    for (i=0; i<5; i++) {
        m = a[i];
        n = b[i];
        while (m != n) {
            if (m > n) m = m - n;
            else n = n - m;
        }
        if (max < m) max = m;
    }
    return max;
}
int a[] = {26, 3, 33, 56, 11};
int b[] = {87, 12, 23, 45, 17};
int main() {
    return gcd(a, b);
}
```

Schaumont, Listing 7.1 - A C program to find a maximum GCD



Schaumont, Figure 7.2 - Elements of an assembly program produced by gcc

```
gcd:
    str    lr, [sp, #-4]!
    mov    lr, #0
    mov    ip, lr
.L13:
    ldr    r3, [r0, ip, asl #2]
    ldr    r2, [r1, ip, asl #2]
    cmp    r3, r2
    beq    .L17
.L11:
    cmp    r3, r2
    rsbgt r3, r2, r3
    rsble r2, r3, r2
    cmp    r3, r2
    bne    .L11
.L17:
    add    ip, ip, #1
    cmp    lr, r3
    movlt lr, r3
    cmp    ip, #4
    movgt r0, lr
    ldrgt pc, [sp], #4
    .L13
a:
    .word 26, 3, 33, 56, 11
b:
    .word 87, 12, 23, 45, 17
main:
    str    lr, [sp, #-4]!
    ldr    r0, .L19
    ldr    r1, .L19+4
    ldr    lr, [sp], #4
    b     gcd
    .align 2
.L19:
    .word a
    .word b
```

Schaumont, Listing 7.2 - ARM assembly dump of Listing 7.1

analisi del codice oggetto

l'esempio appena visto è sviluppato con il cross-compilatore GNU arm-linux-gcc, che era reperibile come pacchetto Debian nel repository di Gezel, ma questo non è più disponibile

- studenti di questo corso possono ottenerlo e installarlo come da istruzioni allegate
- i comandi che seguono funzionano similmente per altri cross-compilatori ARM

il codice assembly simbolico è ottenuto dal sorgente C mediante il comando:

```
/usr/local/arm/bin/arm-linux-gcc -c -S -O2 gcd.c -o gcd.s
```

il comando per generare l'eseguibile ARM ELF è:

```
/usr/local/arm/bin/arm-linux-gcc -O2 gcd.c -o gcd
```

è anche possibile ottenere il codice simbolico dall'eseguibile ELF mediante un disassemblatore, in questo esempio con il seguente comando:

```
/usr/local/arm/bin/arm-linux-objdump -d gcd
```

l'output del disassemblatore mostra anche il codice binario associato a ogni istruzione simbolica e gli indirizzi associati alle etichette

l'uso di questo strumento e di altri strumenti di utilità associati ai compilatori per l'analisi di codice eseguibile sarà ulteriormente esplorato in esercitazioni di laboratorio

rappresentazione dei tipi di dati

il codesign hardware/software efficiente richiede una comprensione congiunta di architettura di sistema e del software

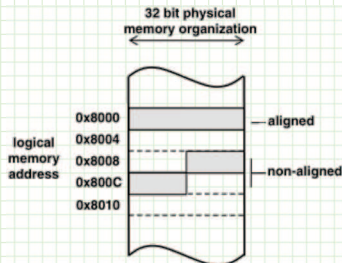
la rappresentazione dei tipi di dati è un buon punto di partenza, i compilatori ne conoscono le differenze di:

- dimensione di memoria
- implementazione di basso livello delle operazioni

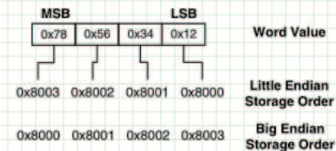
la tabella 7.1 mostra come C li traduce ai tipi di dati nativi supportati da processori a 32 bit

C data type	
char	8-bit
short	signed 16-bit
int	signed 32-bit
long	signed 32-bit
long long	signed 64-bit

Schaumont, Table 7.1 - Compiler data types



Schaumont, Figure 7.7 (a) - Alignment of data types



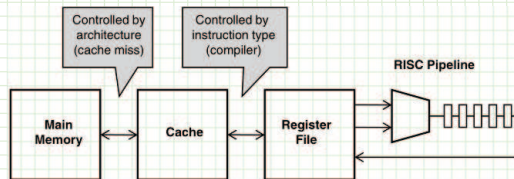
Schaumont, Figure 7.7 (b) - Little-endian and Big-endian storage order

un'organizzazione della memoria basata sulla parola richiede allineamento ai confini di parola, per eseguire un trasferimento di parola con un solo accesso a memoria il compilatore genera direttive a tal fine

l'ordinamento dei byte, in qualche caso persino quello dei bit, è rilevante al codesign hardware/software nella transizione dal software all'hardware e viceversa

variabili nella gerarchia di memoria

un altro aspetto importante della rappresentazione dei dati è il tipo di memoria fisica allocata



Schaumont, Figure 7.8 - Memory hierarchy

la gerarchia di memoria è trasparente a programmi di alto livello, e.g. in C, ma il controllo di basso livello influisce sulle prestazioni; ecco un esempio:

```
void accumulate(int *c, int a[10]) {
    int i;
    *c = 0;
    for (i=0; i<10; i++) *c += a[i];
}
```

/usr/local/arm/bin/arm-linux-gcc -O2 -c -S accumulate.c

genera il codice seguente in accumulate.s :

```
.L6:
    mov    r3, #0
    str    r3, [r0, #0]
    mov    ip, r3
    ldr    r2, [r1, ip, asl #2] ; r2 = a[i]
    ldr    r3, [r0, #0] ; r3 = *c (memory)
    add    ip, ip, #1 ; increment loop ctr
    add    r3, r3, r2
    cmp    ip, #9
    str    r3, [r0, #0] ; r3 -> *c (memory)
    movgt pc, lr
    b     .L6
```

nell'esempio, il valore della variabile accumulatore viaggia su e giù nella gerarchia di memoria un controllo limitato è possibile in C con l'uso di specificatori di classe di memoria e qualificatori di tipo

Storage specifier	Type qualifier
register	const
static	volatile
extern	

chiamate di funzione: un esempio

le chiamate di funzioni sono la struttura fondamentale della gerarchia comportamentale dei programmi: ecco un esempio della loro traduzione in linguaggio macchina

```
int accumulate(int a[10]) {
    int i;
    int c = 0;
    for (i=0; i<10; i++)
        c += a[i];
    return c;
}
int a[10];
int one = 1;
int main() {
    return one + accumulate(a);
}
```

Schaumont, Listing 7.4 - Sample program

la compilazione del programma senza ottimizzazione mostra la creazione, nella pila, dell'area di attivazione, che viene dinamicamente associata all'esecuzione della funzione per ospitare variabili locali e salvataggio di registri

in questo caso il registro r0 è usato per il passaggio del parametro e del risultato; quando i parametri sono molti sono passati nell'area di attivazione

l'uso del registro FP (frame pointer) permette la nidificazione delle chiamate e la ricorsione

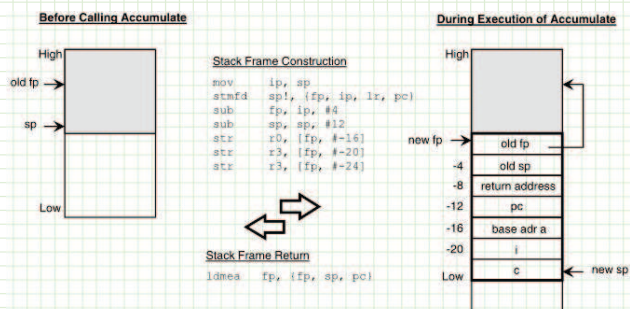
```
accumulate:
    mov     ip, sp
    stmfd  sp!, {fp, ip, lr, pc}
    sub    fp, ip, #4
    sub    sp, sp, #12
    str    r0, [fp, #-16]        ; base address a
    mov    r3, #0
    str    r3, [fp, #-24]        ; c
    mov    r3, #0
    str    r3, [fp, #-20]        ; i
.L2:
    ldr    r3, [fp, #-20]
    cmp    r3, #9                ; i<10 ?
    ble    .L5
.L5:
    ldr    r3, [fp, #-20]        ; i * 4
    mov    r2, r3, asl #2
    ldr    r3, [fp, #-16]
    add    r3, r2, r3            ; *a + 4 * i
    ldr    r2, [fp, #-24]
    ldr    r3, [r3, #0]
    add    r3, r2, r3            ; c = c + a[i]
    str    r3, [fp, #-24]        ; update c
    ldr    r3, [fp, #-20]
    add    r3, r3, #1
    str    r3, [fp, #-20]        ; i = i + 1
    b     .L2
.L3:
    ldr    r3, [fp, #-24]        ; return arg
    mov    r0, r3
    ldmea fp, {fp, sp, pc}
```

Schaumont, Listing 7.6 - Accumulate without compiler optimizations

costruzione dell'area di attivazione

la figura 7.9 mostra una ipotesi di costruzione dell'area di attivazione nella pila

il registro SP punta alla cima occupata della pila, che cresce verso il basso: queste convenzioni si riflettono nel suffisso fd (full, descending) dell'istruzione di trasferimento multiplo stmfd per il salvataggio in pila di registri



Schaumont, Figure 7.9 - Stack frame construction

il ripristino dei registri salvati e il rientro si hanno con un'unica istruzione di trasferimento multiplo

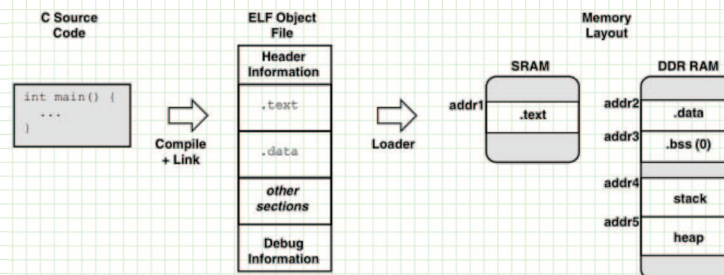
in questo caso è appropriato il suffisso converso ea (empty, ascending), notando che è FP, non SP, il registro di base per l'indirizzo da cui iniziare il trasferimento ... tuttavia, la figura non riflette correttamente l'uso delle istruzioni di trasferimento multiplo, conforme alle specifiche ARM

l'analisi di questo problema è differita alla prossima esperienza di laboratorio

disposizione in memoria del programma

per la rappresentazione fisica del programma e delle sue strutture dati nella gerarchia di memoria, occorre distinguere fra:

- *disposizione statica del programma*: organizzazione dell'output di compilatore e linker in un file ELF (o in una ROM)
- *disposizione dinamica del programma*: organizzazione in memoria di un programma eseguibile durante l'esecuzione



Schaumont, Figure 7.10 - Static and dynamic program layout

- il *caricatore* può assegnare sezioni differenti del programma ELF a differenti tipi di memoria
- il *layout* dinamico può avere sezioni assenti nel file ELF, per dati dinamici (stack, heap ecc.)

riferimenti

letture raccomandate:

Schaumont, Ch. 7, Sect. 7.1, 7.3

per sperimentazione:

installazione del cross-compilatore arm-linux-gcc

per ulteriore consultazione:

Schaumont Ch. 7, Sect. 7.2

Introduction to the ARM® Processor Using Intel FPGA Toolchain - For Quartus Prime 16.1, Intel Corp. - FPGA University Program, November 2016

VisUAL - A highly visual ARM emulator, by Salman Arif, Imperial College London (2015)